及业环境计学学报 JOURNAL OF AGRO-ENVIRONMENT SCIENCE

中文核心期刊/CSCD

请通过网上投稿系统投稿 网址: http://www.aes.org.cn

改性棕榈树纤维生物质炭的制备及其对溶液中Pb²⁺的吸附性能分析

温嘉伟, 王辉, 张浩, 姜军

引用本文:

温嘉伟, 王辉, 张浩, 等. 改性棕榈树纤维生物质炭的制备及其对溶液中 Pb^{2+} 的吸附性能分析[J]. 农业环境科学学报, 2021, 40(5): 1088-1096.

在线阅读 View online: https://doi.org/10.11654/jaes.2020-1252

您可能感兴趣的其他文章

Articles you may be interested in

双孢菇菌糠生物炭吸附Pb²⁺机制及其环境应用潜力

张国胜,程红艳,张海波,苏龙,何小芳,田鑫,宁瑞艳农业环境科学学报. 2021, 40(3): 659-667 https://doi.org/10.11654/jaes.2020-0961

高铁酸钾/高锰酸钾改性生物炭对Cd²⁺的吸附研究

蒋子旸,徐敏,伍钧

农业环境科学学报. 2021, 40(4): 876-883 https://doi.org/10.11654/jaes.2020-1123

丝瓜络固定生物氧化锰吸附重金属离子

孟佑婷

农业环境科学学报. 2021, 40(4): 859-865 https://doi.org/10.11654/jaes.2020-1033

微波加热硝酸氧化改性稻壳基生物质炭对Pb(Ⅱ)和亚甲基蓝的吸附作用

车晓冬,丁竹红,胡忻,陈逸珺

农业环境科学学报. 2016, 35(9): 1773-1780 https://doi.org/10.11654/jaes.2016-0285

微生物陈化可提升麦秆水热炭对Cd²⁺吸附性能

花昀, 刘杨, 冯彦房, 何华勇, 杨梖, 杨林章, 薛利红

农业环境科学学报. 2020, 39(7): 1613-1622 https://doi.org/10.11654/jaes.2020-0008



关注微信公众号, 获得更多资讯信息

农业环境科学学报 Journal of Agro-Environment Science

温嘉伟,王辉,张浩,等.改性棕榈树纤维生物质炭的制备及其对溶液中Pb²⁺的吸附性能分析[J].农业环境科学学报,2021,40(5):1088-1096.

WEN Jia-wei, WANG Hui, ZHANG Hao, et al. Preparation of modified palm fiber biochars and their adsorption of Pb²⁺ in solution[J]. Journal of Agro-Environment Science, 2021, 40(5): 1088–1096.



开放科学OSID

改性棕榈树纤维生物质炭的制备及其对 溶液中 Pb²⁺的吸附性能分析

温嘉伟1,王辉1*,张浩1,姜军2

(1.河南科技大学化工与制药学院,河南 洛阳 471023; 2.中国科学院南京土壤研究所,南京 210008)

摘 要:为提高生物质炭对重金属的吸附性能,以棕榈树纤维为原材料制备了棕榈树纤维生物质炭(NPB)、KOH活化正交优化生物质炭(PB)及负载改性纳米二氧化硅生物质炭(PBS)。分别采用红外光谱、扫描电镜等对制备的生物质炭进行表征,比较了其碘吸附值大小及对水中Pb²*的吸附效果,并分析了吸附动力学和等温吸附特性。结果表明:PB、PBS较NPB增加了表面吸附位点,比表面积、总孔体积及最大吸附容量显著增加,PB吸附Pb²*的过程符合准二级动力学模型,PBS吸附Pb²*的过程符合准一级动力学模型,PB、PBS对Pb²*的最大吸附容量分别为110.89、151.63 mg·g⁻¹;通过比较Langmuir和Freundlich模型拟合方程相关参数可知,PB、PBS对Pb²*的吸附过程为匀质、单双层同时进行,更加符合Langmuir方程。研究表明,PBS对Pb²*的吸附性能最好(较PB吸附性能提升了1.37倍),负载改性效果显著,具有良好的应用潜力。

关键词:棕榈树纤维;生物质炭;负载改性;吸附;Pb2+

中图分类号:TQ424;X703 文献标志码:A 文章编号:1672-2043(2021)05-1088-09 doi:10.11654/jaes.2020-1252

Preparation of modified palm fiber biochars and their adsorption of Pb²⁺ in solution

WEN Jia-wei¹, WANG Hui^{1*}, ZHANG Hao¹, JIANG Jun²

(1. School of Chemical Engineering and Pharmacy, Henan University of Science and Technology, Luoyang 471023, China; 2. Institute of Soil Science, Chinese Academy of Sciences, Nanjing 210008, China)

Abstract: In order to improve the heavy metal adsorption performance of biochars, we prepared palm fiber biochar (NPB), KOH-activated orthogonal optimized biochar (PB), and loaded modified nano silica biochar (PBS) from palm fiber as a raw material. The prepared biochars were characterized by infrared spectroscopy and scanning electron microscopy, and iodine adsorption values and Pb²⁺ adsorption properties in water were compared. We also analyzed adsorption kinetics and isothermal adsorption characteristics. The results showed that compared with NPB, PB and PBS had a significantly larger number of surface adsorption sites and significantly higher specific surface area, total pore volume, and maximum adsorption capacity. The Pb²⁺ adsorption process of PB corresponded to a quasi-second-order kinetic model, whereas that of PBS was in line with a quasi-first-order kinetic model. The maximum Pb²⁺ adsorption capacities of PB and PBS were 110.89 mg · g⁻¹ and 151.63 mg · g⁻¹, respectively. Furthermore, a comparison of the parameters of Langmuir and Freundlich model fitting equations indicated that the adsorption process of Pb and PBS on Pb²⁺ is homogeneous, with single and double layers simultaneously, which is more consistent with the Langmuir equation. The findings of this study indicate that PBS has the best Pb²⁺ adsorption performance among the assessed biochars, which is 1.37 times higher than that PB, and has a significant load modification effect. Accordingly, the PBS biochar would have good application potential.

Keywords: palm fiber; biochar; load modification; adsorption; Pb2+

收稿日期:2020-10-29 录用日期:2021-01-27

作者简介:温嘉伟(1996—),男,河南封丘人,硕士研究生,研究方向为重金属污染修复。E-mail:wenjw959@163.com

*通信作者: 王辉 E-mail: wanghui_peony@163.com

基金项目:国家自然科学基金项目(41471256);河南省科技攻关项目(192102110050)

Project supported: The National Natural Science Foundation of China (41471256); Henan Province Science and Technology Research Project (192102110050)

我国生物质资源丰富,其中农林废弃物作为一大 类生物质资源因诸多因素制约并未充分利用,造成了 严重的资源浪费[[]。生物质炭(Biochar)是在厌氧或 缺氧和相对低温的(<800 ℃)条件下,将生物质原料 经过热解炭化后产生的一种高比表面积和孔径的富 炭物质[2-3]。生物质炭因具有丰富的微孔结构、大量 的含氧官能团、巨大的比表面积等优异特性而被人们 广泛关注[4]。但与活性炭相比,生物质炭的吸附能 力、微孔结构的发达程度、比表面积的大小等特性仍 有待提升。因此,如何有效提高生物质炭的吸附性能 是目前研究的主要方向。

近年来,国内外学者对如何通过改性等方法提高 生物质炭的吸附性能进行了大量探索。Yang等同用 HNO3对生物质炭进行活化改性,增加其含氧官能团, 极大提高了对Cu2+的吸附能力。Regmi等6利用KOH 活化改性制备的生物质炭更易于吸附水中的重金属 Cd、Cu, 且改性后生物质炭的吸附能力是未改性生物 质炭的2.4倍。通常,生物质炭复合材料的吸附能力 远高于单一原材料所制备的生物质炭門。吕双問制备 的Fe₃O₄基纳米复合材料可大幅提高对Cu²⁺的吸附性 能。Zhou等[9]采用浸渍/烧结方法制备的二氧化锰铁-生物质炭复合材料(FMBC),对Cu2+和Cd2+的最大吸 附容量分别比原始生物质炭提高了3倍和5倍。纳米 二氧化硅比表面积大且拥有丰富的羟基官能团,经表 面修饰后可以吸附多种有害物质[10]。Brown等[11]制备 的巯基修饰二氧化硅纳米材料可以吸附 Hg2+,肖文 香[12]制备的巯基修饰的二氧化硅材料对 Pb2+具有较 好的吸附效果。这些研究均采用物理化学方法改性 或对其负载制备复合吸附材料,但将两种方法相结合 的研究目前仍鲜有报道。本研究通过将相同的棕榈 树纤维在不同温度条件下制备生物质炭,以产出生物 质炭的碘吸附值为标准,对比选择最优材料对其进行 活化改性及纳米二氧化硅负载改性以提高生物质炭 的吸附性能。研究改性前后生物质炭的理化性质,并 通过等温吸附和动力学吸附试验,分析改性生物质炭 在含重金属溶液中的吸附机理和吸附容量,以期为今 后的实际应用提供理论基础。

材料与方法

1.1 原材料采集和生物质炭的制备

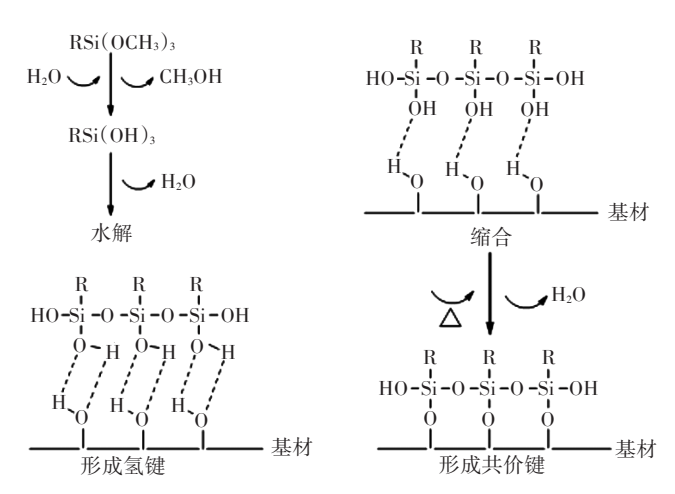
本试验生物质炭制备原材料为2019年4月干河 南科技大学校园内采集的棕榈树纤维,将原材料清洗 干净、烘干,经机器研磨后得到原材料粉末,将粉末放 入陶瓷坩埚中,加盖并用锡箔纸密封包严,经抽真空 程序后在控温马弗炉中炭化。以10 ℃·min⁻¹的升温 速率升温至200 ℃,保温1h后,保持原有升温速率升 温至指定温度(300、350、400、450、500、550、600℃). 炭化1.5 h[13], 当温度降至室温后取出。采用HCI溶液 浸泡处理去除灰分,经蒸馏水冲洗、过滤后于电热恒 温干燥箱中100 ℃干燥2h,待冷却即制得棕榈树纤 维生物质炭(Plam-Biochar),用聚氯乙烯塑料袋密封 保存备用。

1.2 生物质炭 KOH 活化及正交优化

通过测定不同温度下所制备出生物质炭的碘吸 附值, 选取碘吸附值最大的棕榈树纤维生物质炭进行 KOH活化及正交优化。选取KOH作为活化剂,将炭 碱比、活化温度和活化时间作为3因素,进行Lo(33)正 交表试验,对制备的生物质炭进行优化,将未活化棕 榈树纤维生物质炭标记为 NPB、经 KOH 活化后的棕 榈树纤维生物质炭标记为PB。

1.3 生物质炭-纳米二氧化硅负载改性

对 PB表面进行负载改性[14-15]。用无水乙醇配制 质量浓度为2%的纳米二氧化硅溶液,加入PB并在气 浴恒温振荡器中室温条件下振荡4h,经抽滤、洗涤、 烘干后,采用HCI溶液活化12h再次抽滤、洗涤、烘 干[16]。硅烷偶联剂负载改性的理如图1所示,将硅烷 偶联剂(γ-巯丙基三甲氧基硅烷)置于容量瓶中,加 入无水乙醇定容。将活化后的原材料加入改性剂溶 液,放入恒温振荡器中振荡。之后经过滤、冲洗、抽 滤、洗涤、烘干得到负载纳米二氧化硅的棕榈树纤维



图中R基团表示巯基(-SH) The R group in the figure represents the sulfhydryl group (-SH)

图1 硅烷偶联剂负载改性原理

Figure 1 Principle of load modification of silane coupling agent

生物质炭,装入聚氯乙烯塑料袋中密封保存,记为 PBS。

1.4 生物质炭样品的性质与表征

通过傅里叶红外光谱仪(Nicolet 5700 Spectrometer),在波谱400~4 000 cm⁻¹范围内扫描,并辅以 X 射线能谱(SystemSIX型)分析,以验证改性前后生物质炭的表面基团及元素变化情况;采用 X 射线衍射仪(Bruker D8 Advance)检测样品的晶体结构;通过扫描电镜(JSM-5610LV型)观察改性前后样品形状和表面特征的变化;采用比表面积与孔隙率测定仪(ASAP 2020 V4.03型)测定改性前后生物质炭的比表面积与孔隙结构参数的变化。

1.5 吸附试验

默认试验条件:采用Pb(NO₃)₂配制不同浓度的Pb²+溶液;配制0.01 mol·L⁻¹的NaNO₃为背景溶液;配制0.1 mol·L⁻¹的HNO₃溶液和NaOH溶液用于调节溶液pH;振荡时温度为25℃,振荡速率为180 r·min⁻¹,振荡时间为0.5~12 h,振荡时各锥形瓶均采用封口膜封住瓶口,以减少实际环境对溶液pH产生的影响,Pb²+溶液浓度采用火焰原子吸收分光光度计(TAS-990AFG)进行测定。

1.5.1 动力学吸附

配制 25 mL浓度为 400 mg·L⁻¹的 Pb²⁺溶液,调节 pH 至 4,温度设为 25 ℃。称取 0.100 0 g生物质炭于各锥形瓶中,分别振荡 0.5、1、2、4、8、12 h,过滤测定 Pb²⁺溶液浓度。

1.5.2 等温吸附

分别配制 25 mL Pb²⁺浓度为 50、100、200、400、500、600、700、800、900、1 000 mg·L⁻¹溶液,调节 pH 至 4.0,温度为 25 ℃。分别称取 0.100 0 g生物质炭于锥形和,振荡 12 h,过滤测定。

1.5.3 pH对吸附效果的影响

配制 25 mL浓度为 400 mg·L⁻¹的 Pb²⁺溶液,分别 将 pH调节至 2、3、4、5、6,温度设为 25 $^{\circ}$ C。称取 0.100 0 g生物质炭于锥形瓶中,振荡 12 h,过滤测定。

1.6 数据分析

采用 Excel 2019 进行数据处理,利用 Origin 8.0 制图。

2 结果与讨论

2.1 不同温度制备生物质炭碘吸附值分析

对不同温度下制备出的 NPB 进行碘吸附值的分析测定,结果如图 2 所示。随着炭化温度的增加,

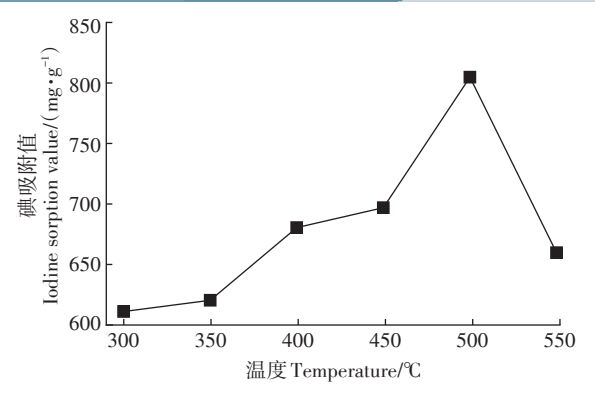


图 2 不同温度制备出生物质炭的碘吸附值

Figure 2 The iodine adsorption value of biochar prepared at different temperatures

NPB的碘吸附值先增加后降低,在500℃时达到最大碘吸附值,为807.76 mg·g⁻¹。因此,选取500℃条件下制备的NPB作为KOH活化改性探究的原材料。

2.2 棕榈树纤维生物质炭 KOH 活化及正交优化

由表 1 可知,对于指标碘吸附值因素的主次顺序为炭碱比(A)>时间(C)>温度(B),同时在 C_2 、 A_3 、 B_2 优水平条件下制备的碘吸附值最大。因此,KOH活化棕榈树纤维生物质炭的最佳工艺条件为:活化温度 700 $^{\circ}$ C,反应时间 90 min,炭碱比1:3。在上述3种最佳优水平工艺下制备的 PB碘吸附值为 1 628.55 mg·g⁻¹。

表1 棕榈树纤维生物质炭碘吸附正交实验

Table 1 Orthogonal experiment on adsorption of iodine from palm fibre biochar

_	序号 Number	A:炭碱比	B:温度	C:时间	碘吸附值
		A: Carbon	. 1	C:Time/min	Iodine adsorption
		alkali than	$^{\circ}$	O.11me/mm	value/(mg•g ⁻¹)
	1	1:1	600	60	709.19
	2	1:2	700	90	1 387.56
	3	1:3	800	120	1 210.64
	4	1:1	600	90	1 407.76
	5	1:2	700	120	1 399.38
	6	1:3	800	60	1 337.43
	7	1:1	600	120	1 439.15
	8	1:2	700	60	1 381.50
	9	1:3	800	90	1 347.26
	\mathbf{k}_1	1 102.46	1 185.37	1 142.71	_
	\mathbf{k}_2	1 381.52	1 389.48	1 380.86	_
	k_3	1 389.30	1 298.44	1 349.72	_
	R	286.84	204.11	238.15	_
	主从顺序	_	A>C>B	_	_
	优水平	A_3	B_2	C_2	_

2.3 生物质炭样品的性质与表征性状

2.3.1 生物质炭红外光谱(FTIR)分析

利用傅里叶变换红外光谱仪对 NPB、PB、PBS 3 种生物质炭进行测定。分析3种样品的表面官能团种 类,并辅以X射线能谱(EDS)分析进行比较。由图 3 可知,在2924、1430 cm⁻¹处有C—H伸缩振动[17-18]; 在 3 400 cm⁻¹附近有一OH 与一NH 的伸缩振动形成 的多重吸收峰[19-20]。PBS在480、1 100.8 cm-1 附近发 现 Si-O-Si、Si-O-C 伸缩峰[21]。在 2 557.1 cm-1附 近有S—H伸缩振动峰,说明硅烷偶联剂中—SH成功嫁 接到了生物质炭结构上,这与EDS分析结果中O、Si 和S元素种类增加一致。

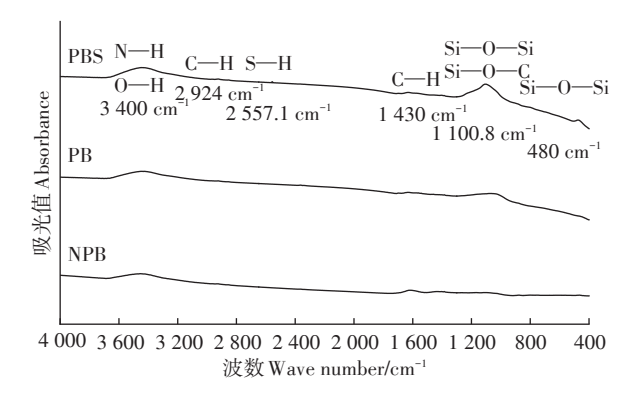


图 3 不同生物质炭红外光谱图

Figure 3 Infrared spectra of different biochar

2.3.2 X射线衍射(XRD)检测分析

分别对NPB、PB、PBS及负载改性时所用纳米二 氧化硅进行了XRD检测分析。根据图4可知,NPB 呈现无定型结构,在 $2\theta=23$ °附近出现了明显的馒头 峰, 2θ =43°附近出现并不显著的馒头锋,分别对应石 墨结构的(002)和(100)晶面,这表明NBP具有一定 的石墨化结构;在KOH高温活化下生物质炭结构遭 到强碱侵蚀形成PB,石墨化结构被部分破坏;SiO₂原 材料在 $2\theta=21°$ 附近出现了明显的馒头锋,但并未出现 晶质物体的尖锐衍射峰,且其他位置无明显特征衍射 峰, 这说明负载的SiO。为无定形结构材料, 将其负载 至 PB 后形成 PBS,同样出现了以 $2\theta=21^{\circ}$ 为中心的但 峰强度弱于SiO2的馒头峰,结合扫描电镜(SEM)及 FTIR 分析中Si-O-Si 的出现可知纳米二氧化硅已 成功负载到棕榈树纤维生物质炭中。

2.3.3 SEM与EDS分析

由图5a可知,NPB表面较为光滑,呈现蜂窝状骨 架结构[22],蜂窝状结构中存在大量的微孔区,同时表

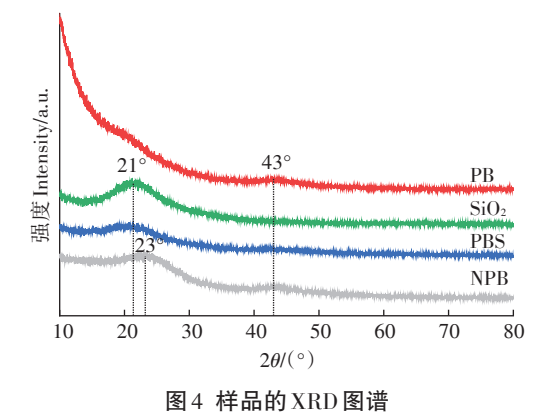


Figure 4 XRD patterns of samples

面存有颗粒状物质紧密排列,NPB存在较明显的孔隙 结构。经KOH活化后(图5b),PB表面存在不同程度 的刻蚀,变稍粗糙,原有颗粒状物质大部分被去除,材 料更细碎,蜂窝状结构中存在大量微孔且更粗糙,因 此具有巨大的比表面积和孔隙结构,并为生物质炭负 载纳米二氧化硅提供了场所。图5c中有簇状小颗粒 物附着在PBS孔隙及表面,此时生物质炭表面粗糙不 平,且外表面出现了一些细小颗粒。

结合表2中EDS分析可知:NPB中C、O、Si是主 要构成元素,其含量分别为34.63%、48.56%、 16.81%。经 KOH 活化为 PB 后, C 元素含量升高为 78.11%; O、Si 元素含量下降为18.86%、1.20%, 由此 可知经KOH活化后去除的原有颗粒状物质为SiO2; KOH改性滞留的K元素含量为1.11%,另外有Cl和Al 元素检出,但检出含量相对较低。PBS元素组成种类 较PB及NPB增加,γ-巯丙基三甲氧基硅烷偶联剂 SH(CH₂)₃Si(OCH₃)₃中巯基(一SH)对重金属离子具 有极强亲合力,将巯基接枝到纳米二氧化硅表面,从 而进一步增强 PBS 对重金属的吸附能力。因此, PBS 中S元素的含量增加为6.97%。而O、Si元素含量增 加至30.31%、16.23%、结合图5c中表面增加的簇状小 颗粒状物质及FTIR 中发现的Si-O-Si 可知纳米二 氧化硅已成功负载到棕榈树纤维生物质炭中。

2.3.4 比表面积和孔径分布(BET)

比表面积和孔隙结构是分析生物质炭吸附性能 的重要指标之一,在吸附过程中,大孔、中孔和微孔所 起到的作用各不相同,大孔和中孔起到传输吸附质的 作用,微孔主要起到吸附污染物因子的作用[23-24]。本 试验对活化前后棕榈树纤维生物质炭进行表征,分析 了比表面积及孔隙度的变化,为后期生物质炭吸附重 金属机理提供理论支撑。

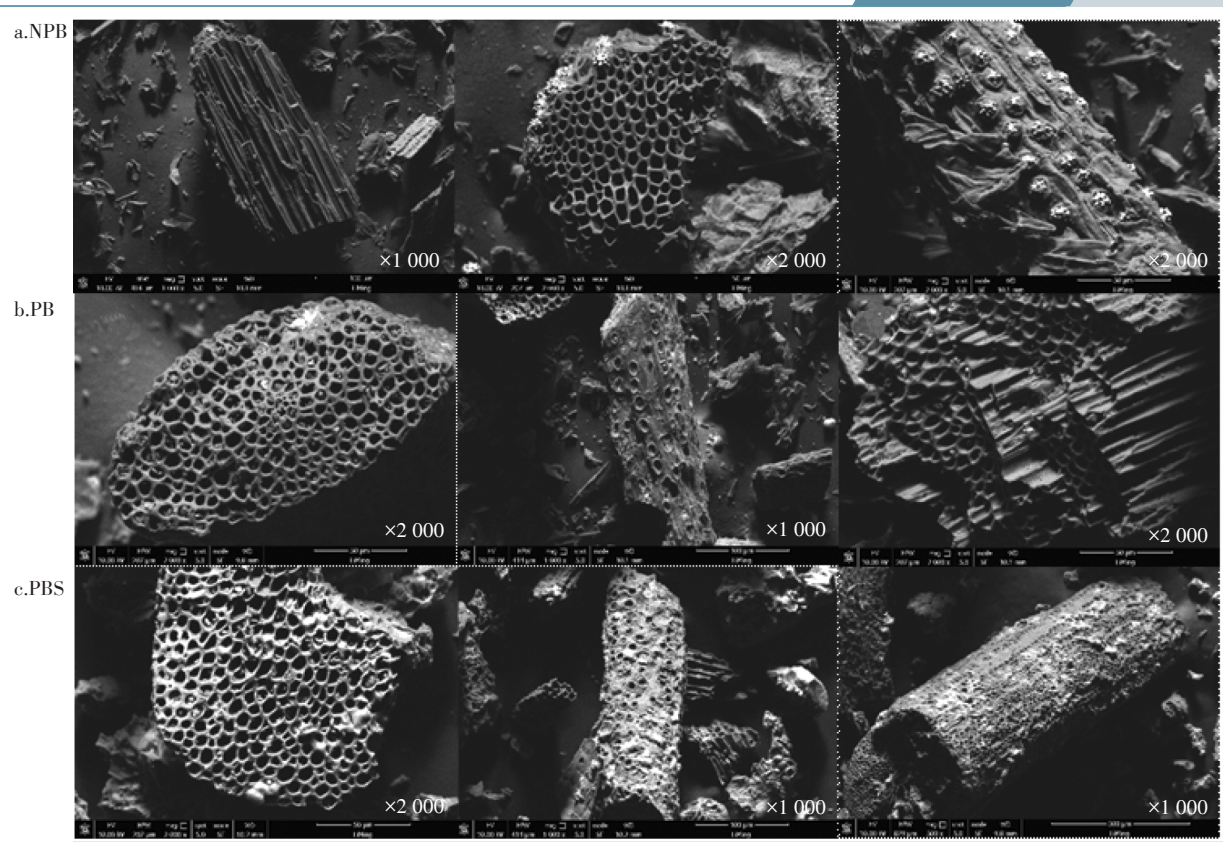


图 5 NPB、PB、PBS的扫描电镜图

Figure 5 Scanning electron microscopy (SEM) of NPB, PB and PBS

表 2 NPB、PB及 PBS 表面区域能量色散 X 射线分析
Table 2 Energy dispersive X-ray analysis of surface areas of
NPB、PB and PBS

生物质炭 Biochars	元素 Elements	元素浓度 Element concentration/%	Intensity	质量百分比 Weight percent/%	原子百分比 Atomic percent/%
NPB	С	100.43	0.45	34.63	44.24
	0	200.31	0.64	48.56	46.58
	Si	100.36	0.93	16.81	9.18
PB	С	367.01	1.39	78.11	83.61
	0	21.69	0.34	18.86	15.15
	Al	1.88	0.91	0.61	0.29
	Si	3.89	0.95	1.20	0.55
	Cl	0.31	0.83	0.11	0.04
	K	3.90	1.04	1.11	0.36
PBS	С	40.57	0.34	46.17	58.76
PBS	0	35.95	0.46	30.31	28.96
	Si	41.16	0.98	16.23	8.83
	S	15.55	0.86	6.97	3.32
	K	0.43	0.98	0.17	0.07
	Ca	0.35	0.94	0.15	0.06

(1)N2吸附-脱附等温线

根据IUPAC的吸附等温线及迟滞回线类型^[25],结合图 6 可知, NPB 的 N₂吸附-脱附等温线属于IV型。当相对压力较低时, NPB 的吸附量随着相对压力的升高而快速增加, 此时完成了 NPB 的单分子层吸附过程, 达到了单分子层饱和吸附量; 当相对压力超过 0.4时, 由于 NPB 的中孔及大孔发生了毛细凝聚现象, 开始出现滞后环(H4类吸附回滞环), 进而导致吸附与脱附曲线分离, 吸附量随相对压力的持续升高而逐渐变缓, 此时开始进行多分子层吸附。从 NPB 的 N₂吸附-脱附线可以得出, NPB 中存在微孔、中孔和大孔。而 PB 与 PBS 的 N₂吸附-脱附等温线属于 I 型。当相对压力较低时, PB 与 PBS 的吸附量随相对压力的升高而快速增加,随后吸附量的增加速率逐渐降低并出现吸附平衡, 进而达到吸附饱和。由此可知 PB 与 PBS 中以微孔为主并存在少量的中孔。

(2)孔径分析

由图7可以看出,NPB中孔含量较为丰富且集中(2~5 nm),微孔及大孔含量相对较少,故 NPB的孔径

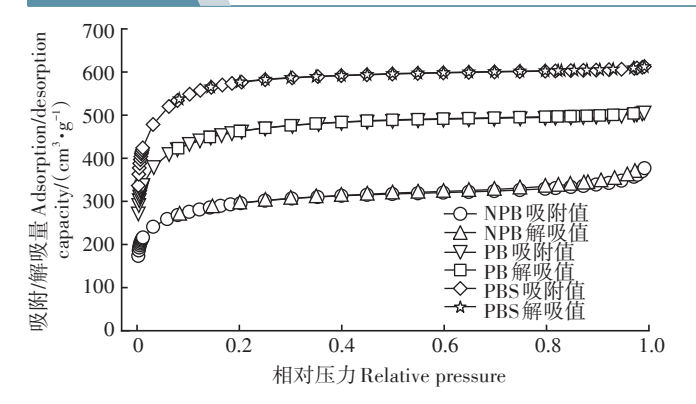


图 6 改性前后生物质炭的 N₂ 吸附-脱附等温线

Figure 6 Adsorption – desorption isotherm of N₂ from biochar before and after modification

分布线型较为平坦; PB与PBS中存在丰富的微孔(1~2 nm)和大量的中孔(2~8 nm), 孔径分布线型与 NPB相似。PB与PBS结构中丰富的中孔和微孔结构, 极大地提高了生物质炭的比表面积和孔隙率。

(3)孔径特性分析

由表3可知,PBS的比表面积为PB、NPB的1.26、1.98倍,总孔体积为PB、NPB的1.14、2.00倍,且PBS的平均孔径分别为PB、NPB的50.5%、79.4%。PB的比表面积和总孔体积较NPB均有提升,说明KOH活化改性过程会在一定程度上增强生物质炭的吸附性能,而PBS的比表面积及总孔体积较PB进一步增加,说明负载纳米二氧化硅改性能够进一步提升生物质炭的吸附性能。田淑艳等[26]以棕榈纤维为原材料并采用磷酸为活化剂制备生物质炭,其改性后生物质炭的比表面积达到1358.48 m²·g⁻¹,其改性结果与本研究相类似,均达到了增大比表面积的目的,同时一定程度上说明对于棕榈树纤维这一材料采用KOH改性较磷酸改性效果更佳。

2.4 吸附试验分析

2.4.1 pH对吸附效果的影响

溶液的pH很大程度上会对生物质炭的吸附性能造成影响,pH通过影响生物质炭的表面电荷、官能团形态及溶液中金属离子的存在形态,进而影响吸附过程和吸附效果[27-29]。研究溶液的pH对NBP、PB、PBS吸附Pb²⁺产生的影响具有重要意义。由图8可知,生物质炭对Pb²⁺的去除率随着pH的升高先增加后降低。3种生物质炭对Pb²⁺的去除率在pH增至4后开始下降;各pH范围内PBS对Pb²⁺的去除率均高于PB、NPB。在pH为2时,溶液中含有大量的H⁺,与生物质炭接触后使生物质炭表面带正电荷,而溶液中重金属

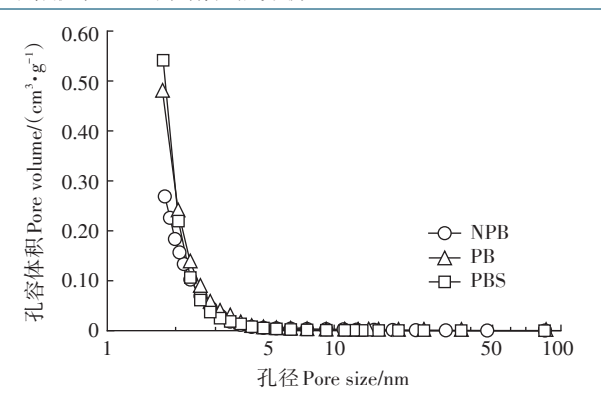


图 7 改性前后生物质炭孔径分布

Figure 7 Biochar pore diameter distribution before and after modification

表 3 KOH 活化改性前后生物质炭的比表面积、 总孔体积及平均孔径

Table 3 Specific surface area, total pore volume and average pore size of biochar before and after KOH activation modification

生物质炭 Biochars	比表面积 Specific surface area/(m²·g⁻¹)	总孔体积 Pore volume/ (cm³·g ⁻¹)	平均孔径 Average pore size/nm
NPB	1 095.79	0.27	5.48
PB	1 719.40	0.47	3.49
PBS	2 167.10	0.54	2.77

离子也带正电荷,致使生物质炭与重金属产生静电斥力,同时大量H⁺与Pb²⁺竞争生物质炭表面的吸附位点;随着pH升高,溶液中H⁺含量减少,静电斥力及竞争吸附效果减弱,带正电荷的Pb²⁺开始占据生物质炭表面的吸附位点,增大了生物质炭对Pb²⁺吸附量;当pH大于4时,溶液中Pb²⁺逐渐转化为Pb(OH)⁺,随着溶液中OH⁻不断增加,Pb²⁺自由度减少,吸附效果也逐渐下降。

2.4.2 动力学吸附试验

PB、PBS对Pb²⁺的吸附量随吸附时间变化的动力学曲线如图9所示。随着吸附时间的增加,PB、PBS对Pb²⁺的吸附量在0~1h范围内快速上升,在4~8h时反应基本达到平衡。采用准一级、准二级吸附动力学模型对吸附结果进行非线性拟合,拟合结果的参数见表4。

由表 4 可知, 比较 PB 的准一级和准二级动力学方程 R^2 发现, PB 吸附 Pb²⁺过程符合准二级动力学方程, 此时计算的理论吸附量(75.97 mg·g⁻¹)和实际吸附量(75.35 mg·g⁻¹)接近; 比较 PBS 的准一级和准二级方程 R^2 发现, PBS 的准一级动力学方程的拟合系数较准二级动力学方程更大, 计算的理论吸附量和实际

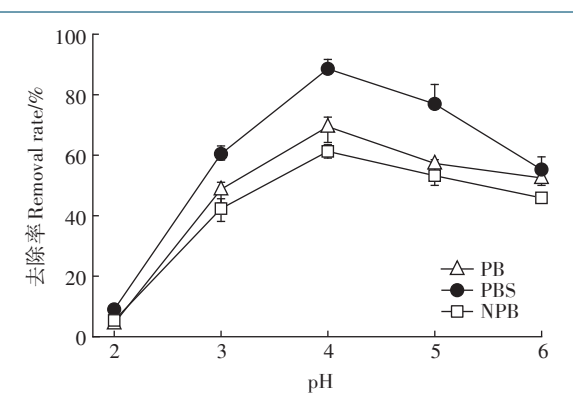
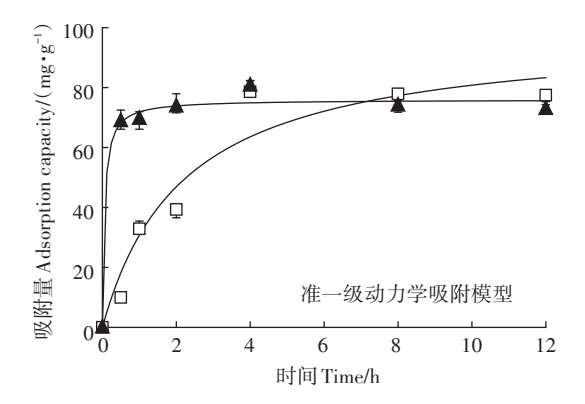


图8 pH对生物质炭吸附效果的影响

Figure 8 Effect of pH on adsorption of biochar



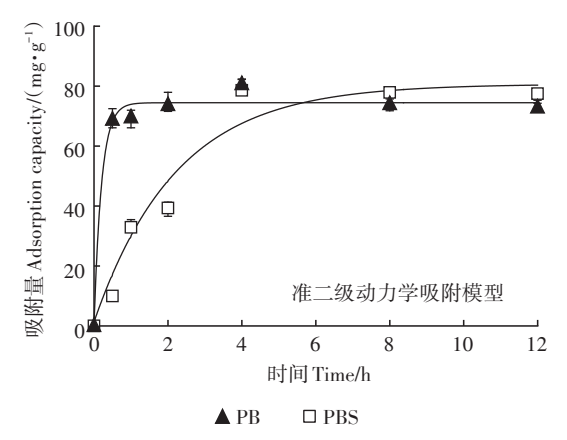


图 9 动力学吸附模型拟合图

Figure 9 Kinetic adsorption model fitting diagram

表 5 Langmuir和 Freundlich模型拟合 PB、PBS 吸附 Pb²+的相关参数

Table 5 Langmuir and Freundlich model were used to fit the parameters of PB and PBS adsorption of Pb²⁺

生物质炭	Langmuir参数 Langmuir parameters			Freundlich参数 Freundlich parameters		
Biochars	$Q_{\scriptscriptstyle\mathrm{m}}$ / $(\mathrm{mg} \! \cdot \! \mathrm{g}^{\scriptscriptstyle -1})$	$K_{\rm L}/$ $(\text{L} \cdot \text{mg}^{-1})$	R^2	$\frac{K_{\rm F}/}{({\rm mg}\cdot{\rm g}^{-1})}$	n	R^2
PB	122.30	0.000 18	0.989 4	0.313 4	1.02	0.981 2
PBS	160.44	0.000 23	0.971 7	0.832 6	1.36	0.959 6

注: Q_m 为最大吸附容量, K_L 为Langmuir吸附常数, K_F 为Freundlich吸附常数,n为Freundlich吸附等温模型的经验常数。

Note: Q_m is the maximum adsorption capacity, K_L is the Langmuir adsorption constant, K_F is the Freundlich adsorption constant, and n is the empirical constant of Freundlich adsorption isothermal model.

吸附量更加接近。

2.4.3 等温吸附试验

Langmuir 和 Freundlich 模型等温吸附曲线见图 10,随着平衡浓度的增大,PB、PBS对 Pb²+逐渐达到吸附饱和并保持动态平衡。由表 5 可知,Langmuir模型 拟合得到的 R^2 比 Freundlich 模型更高,这表明 Langmuir模型更好地拟合了试验结果。因此,根据 Langmuir模型可以得出,PB、PBS对 Pb²+的最大吸附容量分别为 122.30、160.44 mg·g⁻¹。当 Langmuir模型中 K_L 值介于 0~1 时,表明反应易于进行,而 PB、PBS的 K_L 分别为 0.000 18、0.000 23 L·mg⁻¹,表明两种生物质炭的吸附过程较容易进行,且对 Pb²+的吸附是一个匀质的、单层吸附的过程[30]。

在 Freundlich 模型中,一般认为n的值越大,吸附去除性能越强,当n为1~2时,吸附较容易进行;而当n小于0.5时,吸附则较难进行。从表5可知,PB、PBS 吸附溶液中 Pb²+的n值均大于1,表明这两种生物质炭的吸附过程较容易进行,在对 Pb²+的吸附过程中发生多分子层吸附[31-32]。因此,PB、PBS生物质炭吸附 Pb²+反应较容易进行,吸附过程单双层同时进行。

表 4 生物质炭吸附 Pb2+的吸附动力学模型参数

Table 4 Adsorption kinetics model parameters of Pb2+ adsorbed by biochar

生物质炭	准一级动力学模型参数Q	uasi–first order dynar	nic model parameters	准二级动力学模型参数	t Quasi-second order dynami	ic model parameters
Biochars	$Q_{ m e}/({ m mg}{ m ullet}{ m g}^{{ m -}1})$	K_1/h^{-1}	R^2	$Q_e/(mg \cdot g^{-1})$	$K_2/(\mathrm{mg} \cdot \mathrm{g}^{-1} \cdot \mathrm{h}^{-1})$	R^2
PB	74.45	4.92	0.984 4	75.97	0.230 2	0.987 7
PBS	80.70	0.45	0.951 6	98.63	0.004 6	0.927 2

注: Q_e 为平衡吸附量, K_1 为准一级吸附速率常数, K_2 为准二级吸附速率常数, R^2 为相关系数。

Note: Q_e is the equilibrium adsorption amount, K_1 is the first-order adsorption rate constant, K_2 is the second-order adsorption rate constant, R^2 is the correlation coefficient.

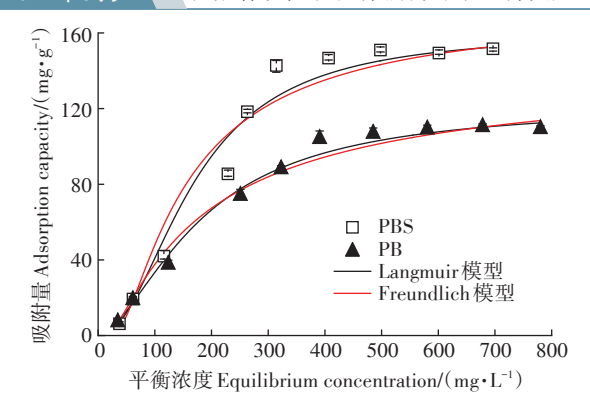


图 10 Langmuir 和 Freundlich模型等温吸附曲线
Figure 10 Langmuir and Freundlich model adsorption isotherm
fitting diagram

3 结论

- (1)500 ℃条件下制备出的棕榈树纤维生物质炭经过活化改性后,其碘吸附值可达到 1 628.55 mg·g⁻¹,活化改性的最佳制备条件为:活化温度 700 ℃,反应时间 90 min,炭碱比1:3。
- (2)负载优化改性过程使生物质炭表面的官能团羟基(—OH)和碳氧键(C—O)得到强化,并成功引入巯基(—SH)、硅氧基(Si—O—Si、Si—O—C)。PBS、PB较NPB具有更大的比表面积,3种生物质炭吸附性能依次为PBS>PB>NPB。
- (3)PBS的比表面积、总孔体积较PB、NPB均显著增加,平均孔径明显缩小,且出现大量微孔,使得孔径结构更加丰富,为重金属的吸附过程提供了大量的吸附位点,改性效果明显。
- (4)PB、PBS吸附Pb²+的过程分别符合准二级、准一级动力学方程,PB、PBS对Pb²+的吸附过程为匀质、单双层同时进行,且均符合Langmuir方程。PBS对Pb²+的吸附性能更好,可用于土壤和水体中的Pb²+污染治理。

参考文献:

- [1] 蔡亚庆, 仇焕广, 徐志刚. 中国各区域秸秆资源可能源化利用的潜力分析[J]. 自然资源学报, 2011, 26(10): 1637-1646. CAI Yaqing, QIU Huan-guang, XU Zhi-gang. Evaluation on potentials of energy utilization of crop residual resources in different regions of China[J]. *Journal of Natural Resources*, 2011, 26(10): 1637-1646.
- [2] Lin Y, Munroe P, Joseph S, et al. Chemical and structural analysis of enhanced biochars: Thermally treated mixtures of biochar, chicken litter, clay and minerals[J]. Chemosphere, 2013, 91(36):35-40.
- [3] Essandoh M, Kunwar B, Pittman C U, et al. Sorptive removal of salicylic acid and ibuprofen from aqueous solutions using pine wood fast pyrolysis biochar[J]. Chemical Engineering Journal, 2015, 265:219-227.

- [4] 杨萌, 邢海, 闻秀娟, 等. 生物质炭对土壤重金属污染修复作用的研究进展[J]. 贵州农业科学, 2020, 48(4):153-160. YANG Meng, XING Hai, WEN Xiu-juan, et al. Research progress on effects of biochar on remediation of heavy metal contaminated soil[J]. Guizhou Agricultural Sciences, 2020, 48(4):153-160.
- [5] Yang G X, Jiang H. Amino modification of biochar for enhanced adsorption of copper ions from synthetic wastewater[J]. Water Research, 2014, 48:396–405.
- [6] Regmi P, Moscoso J L G, Kumar S, et al. Removal of copper and cadmium from aqueous solution using switchgrass biochar produced via hydrothermal carbonization process[J]. *Journal of Environmental Manage*ment, 2012, 109:61-69.
- [7] 蒲生彦, 上官李想, 刘世宾, 等. 生物炭及其复合材料在土壤污染修复中的应用研究进展[J]. 生态环境学报, 2019, 28(3):629-635. PU Sheng-yan, SHANGGUAN Li-xiang, LIU Shi-bin, et al. A review of the application of biochar and its composites in soil remediation[J]. Ecology and Environmental Sciences, 2019, 28(3):629-635.
- [8] 吕双. Fe₃O₄基复合吸附剂的制备及其去除水中重金属离子研究 [D]. 青岛:青岛科技大学, 2016: 3-5. LÜ Shuang. Fe₃O₄-based nanocomposites: Preparation and its application in adsorption removing of heavy metal ion from aqueous solution[D]. Qingdao: Qingdao University of Science & Technology, 2016: 3-5.
- [9] Zhou Q, Liao B, Lin L, et al. Adsorption of Cu(II) and Cd(II) from aqueous solutions by ferromanganese binary oxide—biochar composites [J]. Science of the Total Environment, 2018, 615:115–122.
- [10] 张飞飞. 二氧化硅纳米颗粒的功能化改性及应用研究[D]. 济南: 济南大学, 2015: 12. ZHANG Fei-fei. The functionalization of silica nanoparticles modified and applied research[D]. Jinan: University of Jinan, 2015: 12.
- [11] Brown J, Richer R, Mercier L. One-step synthesis of high capacity mesoporous Hg²⁺ adsorbents by non-ionic surfactant assembly[J]. *Microporous and Mesoporous Materials*, 2000, 37(1/2):41-48.
- [12] 肖文香. 基于巯基功能化介孔硅的 Pb²⁺选择性吸附剂[J]. 桂林电子科技大学学报, 2009, 29(3):264-267. XIAO Wen-xiang. Pb²⁺ selective adsorbent based on thiol-functionalized mesoporous silica [J]. Journal of Guilin University of Electronic Technology, 2009, 29 (3):264-267.
- [13] 李超, 吕晓光, 林剑, 等. 棕榈基活性碳纤维的制备与孔结构表征 [J]. 中国科技论文, 2016, 11(22): 2606-2609, 2614. LI Chao, LÜ Xiao-guang, LIN Jian, et al. Preparation and pore characterization of windmill palm-based activated carbon fibers[J]. China Sciencepaper, 2016, 11(22): 2606-2609, 2614.
- [14] Zhang M M, Liu Y G, Li T T, et al. Chitosan modification of magnetic biochar produced from *Eichhornia crassipes* for enhanced sorption of Cr(VI) from aqueous solution[J]. *Rsc Advances*, 2015, 5(58):46955– 46964.
- [15] Yuan J H, Xu R K, Qian W, et al. Comparison of the ameliorating effects on an acidic ultisol between four crop straws and their biochars [J]. Journal of Soils and Sediments, 2011, 11(5):741-750.
- [16] 刘会媛, 李德玲, 李星. 硅烷偶联剂 KH-560 改性纳米二氧化硅[J]. 化学世界, 2011, 52(8): 456-458, 462. LIU Hui-yuan, LI De-

- ling, LI Xing. Surface modification of nano-silica by silane coupling agent KH-560[J]. *Chemical World*, 2011, 52(8):456-458, 462.
- [17] Hu H, Jiang B Q, Zhang J B, et al. Adsorption of perrhenate ion by bio-char produced from *Acidosasa edulis* shoot shell in aqueous solution[J]. Rsc Advances, 2015. 5(127):104769-104778.
- [18] Kim K H, Kim J Y, Cho T S, et al. Influence of pyrolysis temperature on physico chemical properties of biochar obtained from the fast pyrolysis of pitch pine (*Pinus rigida*) [J]. *Bioresource Technology*, 2012, 118:158-162.
- [19] Haddad K, Jellali S, Jeguirim M, et al. Investigations on phosphorus recovery from aqueous solutions by biochars derived from magnesium-pretreated cypress sawdust[J]. *Journal of Environmental Man*agement, 2018, 216(1):305-314.
- [20] Kloss S, Zehetner F, Dellantonio A, et al. Characterization of slow pyrolysis biochars: Effects of feedstocks and pyrolysis temperature on biochar properties[J]. *Journal of Environmental Quality*, 2012, 41(4): 990-1000.
- [21] Arán D, Antelo J, Fiol S, et al. Influence of feedstock on the copper removal capacity of waste-derived biochars[J]. *Bioresource Technology*, 2016, 212:199–206
- [22] 方甜甜. 棕榈纤维形貌结构及碱精练和微量组分的分析[D]. 杭州:浙江理工大学, 2019: 20-24. FANG Tian-tian. Effect of palm fiber morphology and alkali scouring and trace components[D]. Hangzhou: Zhejiang Sci-Tech University, 2019: 20-24.
- [23] 唐裕芳, 赵月梅, 李玉芹, 等. 香樟叶生物质炭制备及其吸附孔雀石绿性能研究[J]. 湘潭大学自然科学学报, 2020, 42(1):1-6. TANG Yu-fang, ZHAO Yue-mei, LI Yu-qin, et al. Preparation of bio-carbon from C. Camphora and its adsorption performance for malachite green[J]. Journal of Xiangtan University (Natural Science Edition), 2020, 42(1):1-6.
- [24] 林晓芬, 张军, 尹艳山, 等. 氮吸附法和压汞法测量生物质焦孔隙 结构的比较[J]. 炭素, 2009(3): 34-41. LIN Xiao-fen, ZHANG Jun, YIN Yan-shan, et al. Study on porosity of biomass chars by nitrogen adsorption method and mercury porosimeter[J]. *Carbon*, 2009(3): 34-41.
- [25] Giles C H, Macewan T H, Nakhwa S N. Studies in adsorption. Part XI. A system of classification of solution adsorption isotherms, and its use

- in diagnosis of adsorption mechanisms and in measurement of specific surface areas of solids[J]. *Journal of the Chemical Society*, 1960, 111: 3973–3993.
- [26]田淑艳, 王津南, 李爱民. 棕榈纤维制备活性炭纤维及其对水中三 氯生的吸附研究[J]. 离子交换与吸附, 2016, 32(6):511-525. TIAN Shu-yan, WANG Jin-nan, LI Ai-min. Preparation of new activated carbon fiber with plam fiber for adsorption of triclosan from aqueous solution[J]. *Ion Exchange and Adsorption*, 2016, 32(6):511-525.
- [27] 赵伟宁. 园林废弃物生物质炭的制备及其对水中铅的吸附效果研究[D]. 杭州:浙江农林大学, 2018:26-29. ZHAO Wei-ning. Production of biochar from urban greenwaste and its efficacy in adsorption of Pb²⁺ in aqueous solution[D]. Hangzhou: Zhejiang A&F University, 2018:26-29.
- [28] 杨秀敏, 任广萌, 李立新, 等. 土壤 pH值对重金属形态的影响及其相关性研究[J]. 中国矿业, 2017, 26(6):79-83. YANG Xiu-min, REN Guang-meng, LI Li-xin, et al. Effect of pH value on heavy metals form of soil and their relationship[J]. China Mining Magazine, 2017, 26(6):79-83.
- [29] 张亚茹, 张英, 史祥利, 等. pH对生物质炭吸附诺氟沙星和磺胺甲恶唑的影响[J]. 农业资源与环境学报, 2020, 37(4):552-561. ZHANG Ya-ru, ZHANG Ying, SHI Xiang-li, et al. Effect of pH on biochar adsorption of norfloxacin and sulfamethoxazole[J]. Journal of Agricultural Resources and Environment, 2020, 37(4):552-561.
- [30] 任春燕, 郭堤, 刘翔宇, 等. 猕猴桃木生物质炭对溶液中 Cd²*、Pb²* 的吸附及应用研究[J]. 农业环境科学学报, 2019, 38(8): 1982–1990. REN Chun-yan, GUO Di, LIU Xiang-yu, et al. Application of biochar derived from kiwi pruning branches for Cd²* and Pb²* adsorption in aqueous solutions[J]. Journal of Agro Environment Science, 2019, 38(8): 1982–1990.
- [31] Hilber I, Wyss G S, Maeder P, et al. Influence of activated charcoal amendment to contaminated soil on dieldrin and nutrient uptake by cucumbers[J]. Environmental Pollution, 2009, 157(8/9):2224-2230.
- [32] 傅凯放. 造纸黑液木质素活性炭的制备、表征及吸附应用[D]. 济南:山东大学, 2018:46-48. FU Kai-fang. Preparation, characterization and application of lignin-based activated carbons from black liquor[D]. Jinan:Shandong University, 2018:46-48.